

위상여유와 이득여유를 고려한 IMC-PID 제어기 설계

*임동균, **신현균, ***서병설

*한양사이버대학교 컴퓨터공학과, **한양대학교 전기공학과 석사, ***한양대학교 전기제어생체공학부 교수 (교신책임자)

The New IMC-PID Controller Design Method with Phase Margin and Gain Margin

*Dong-Kyun Lim, **Hyeon-Kyun Shin, ***Byung-Suh Suh

*Dep. of Computer, Hanyang Cyber Univ., **Dep. of Electrical Eng., Graduate School, Hanyang Univ.,

***Div. of Electrical, Control and Biomedical Eng., Hanyang Univ.

Abstract - 본 논문에서는 주파수 응답특성의 해석을 통하여 제어기를 설계하는 방법을 제안하였다. 모델의 오차가 없다는 가정 하에 완벽 제어가 가능한 IMC-PID 구조를 사용함으로 하나의 변수인 제어 조절 인자만으로 제어기를 설계하였다. 이 변수를 선정하는 방법으로는 위상여유와 이득여유를 고려한 방법을 수학적으로 유도하였다. 이는 설계자가 이미 알고 있는 일반적인 유도식을 이용함으로 설계를 보다 쉽게 할 수 있다. 이를 통하여 원하는 설계사양을 만족 시키도록 하는 IMC-PID 제어기의 설계 변수 값들을 수학적으로 제시하고, 그 유용성을 사례 연구와 분석을 통해 검토하였다.

1. 서 론

제어기를 설계하는 방법에는 시스템을 바라보는 관점에 따라 여러 가지가 있다. 제어시스템을 시간영역에서 설계하는 방법, 주파수 영역에서 설계하는 방법, 이 둘을 혼합하여 설계하는 방법이 있다. 주파수 영역에서 제어시스템을 설계할 경우, 개루프 시스템의 주파수 응답 특성인 이득여유와 위상여유를 알아봄으로써, 공진 최고값은 작게 하고 대여폭을 크게 하여 시간영역에서의 overshoot는 줄이고 정착시간을 줄임으로 응답을 빠르게 하는 제어시스템을 찾는 것이 바람직하다.[1][2][3] 이러한 관점에서 쉽게 제어기를 설계하기 위한 기법으로 IMC(Internal Model Controller) 제어기를 들 수 있다. IMC 기법의 개념은 1974년 독일의 엔지니어 Frank에 의해서 태동되어 Morari 와 Zafiriou[4]에 의해 이론적 토대가 체계화 되었다. 주파수 영역에서의 필터함수의 설계는 설계자가 원하는 설계 규격을 주파수 영역에서 나타내고 폐루프 전달함수가 이러한 특성을 갖도록 필터함수를 선정하는 방법이다.

이에 대한 연구로서 M. Morari 와 E. Zafiriou 는 모델링 오차가 없다면 완전제어가 가능하다는 가정하에 IMC제어기를 플랜트의 최소 위상부분의 역으로 구성하고, 필터함수의 설계에는 장인-안정성(robust-stability), 장인성-성능(robust-performance)을 보장할 수 있도록 선정하였다. 그러나 실제 공정에서는 실제 플랜트를 완전히 추종할 수 없다. 그러므로 실제 플랜트와 최소한의 오차에 대한 장인성 사이의 성능-장인성을 갖게 하는 제어기의 설계 변수 값 선정이 IMC-PID 제어기의 중요한 설계 절차로 하겠다. 따라서 본 논문에서는 시스템 식별은 Suh-Lim[7]이 제안한 방법을 사용하여 모델링 오차를 줄였고, IMC-PID 제어기의 동조에 있어서는 주파수 영역에서의 해석적 방법을 적용하였다. 특히 IMC-PID 제어기의 장점을โดย 하나의 설계변수 T_F 를 선정하는데 있어, 설계 조건으로 주어지는 위상여유와 이득여유의 범위를 제한함으로 시간영역에서의 성능도 고려한 제어기를 설계하였다.

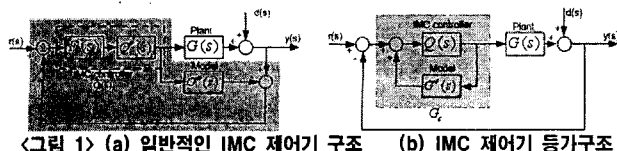
2. 본 론

2.1 주파수 영역에서 IMC-PID 제어 특성

본 논문에서는 주파수 영역에서의 접근 방식으로 IMC 구조에서의 PID 제어기 설계 절차를 유도하였다. 일반적으로 주파수 응답에서의 위상 여유(phase margin)와 이득여유(gain margin)는 상대적 안정도(relative stability)를 질량적으로 표현해준다. 이 값을 토대로 유도된 식을 이용하여 IMC-PID 제어기 설계변수를 선정하는 방법을 제안하였다.

2.1.1 IMC-PID 설계

IMC 제어 구조에서 PID 제어기 설계 절차로 유도하기 위한 일반적인 IMC 구조는 그림1의 (a)와 같다. 여기서 제어시스템이 내부적으로 안정하다면 실제 플랜트 $G(s)$ 에 입력되는 입력과 출력은 그림1의 (b)와 같은 변형된 형태에 영향을 받지 않으므로 등가적으로 볼 수 있고 이것은 일반적인 폐루프 제어시스템과 같은 형태이다.



<그림 1> (a) 일반적인 IMC 제어기 구조

(b) IMC 제어기 등가구조

여기서 공청모델의 전달함수를 최소위상과 비최소 위상으로 분리될 수 있는데, 이렇게 분리된 플랜트의 모델은 식(1)과 같다.

$$G^o(s) = G_m^o \cdot G_{nm}^o = \frac{k_m}{\tau_m s + 1} \cdot e^{-d_m s} \quad (1)$$

일반적으로 제어기 Q 는 기준입력 r 로부터 출력 y 의 공청폐루프 전달함수를 설계자가 원하는 형태가 되고, 공청모델의 최소위상부분을 보상할 수 있도록 식(2)와 같이 설정한다.

$$Q(s) = \frac{F(s)}{G_m^o(s)} = \frac{\tau_m s + 1}{k_m} \cdot \frac{1}{T_F s + 1} \quad (2)$$

이 때 IMC 제어 구조를 일반적인 제어기 형태인 C_c 로 나타내면 그림1의 (b)로부터 식(3)과 같이 나타낼 수 있다. 이 때 비최소 위상 항인 시간지연을 1차 파데 근사한다.

$$\begin{aligned} G_c(s) &= \frac{Q(s)}{1 - G^o(s)Q(s)} \\ &= \frac{1}{k_m(d_m + T_F)s} \cdot \frac{(\tau_m s + 1)(0.5d_m s + 1)}{\frac{T_F d_m}{2(T_F + d_m)} s + 1} \end{aligned} \quad (3)$$

이를 일반적인 PID 제어기의 전달함수 식(4)와 비교하여 나타내면,

$$G = K_p \left(1 + \frac{1}{T_i s} + \frac{T_d s}{1 + T_d s / N} \right) \quad (4)$$

각각의 PID 제어기 변수를 유도 할 수 있다.

$$K_p = \frac{T_i}{k_m(d_m + T_F)} \quad (5)$$

$$T_i = \tau_m + \frac{d_m}{2} \cdot \frac{T_F d_m}{2(T_F + d_m)} \quad (6)$$

$$T_d = \frac{\tau_m d_m}{2 T_i} - \frac{T_F d_m}{2(T_F + d_m)} \quad (7)$$

$$N = \frac{2 T_d (T_F + d_m)}{T_F d_m} \quad (8)$$

위 식으로부터 IMC-PID 제어기를 결정짓는 설계변수는 T_F 임을 알 수 있고, 적당한 T_F 를 선정하면 IMC-PID 제어기가 설계되는 것이다.

Morari 와 Zafiriou[4]는 설계변수 T_F 를 선정하는 조직적인 방법을 제시하지 못하고 단지 $T_F = 0.25d_m$ 을 제시하였다. 반면에 Maffezzoni-Rocco[5]는 T_F 를 선정하기 위해 IMC 구조의 내부안정성이 보장되면서 H_∞ 제어기 법을 이용하여 안정-장인성과 성능-장인성을 보장하고자 했다. 그러나 실제 모델링 오차를 개선할 수는 없었고 모델링 오차가 없다는 가정하에서 제안된 IMC 구조에서는 좋은 결과를 얻을 수 없었다. 또한 응답시간이 길어지는 것과 가중치 함수를 구해야 한다는 단점이 있었다. 이를 개선하기 위해 주파수 응답에서의 위상여유와 이득여유의 특성을 이용하여 IMC-PID 제어기의 설계변수 T_F 를 선정하는 방법을 제안한다.

2.1.2 위상여유와 이득여유를 고려한 방법

주파수응답에서 위상여유(PM)와 이득여유(GM)의 가장 큰 특징으로는 시스템의 성능과 안정도 두 가지를 어느 정도 만족시키도록 하는 상충되는 값을 나타낸다. 일반적으로 PM과 GM이 큰 값 일수록 폐루프 응답의 성능은 느려지고 작은 값 일수록 응답이 빨라지고, 더 크게 진동한다. 이와 같은 특징을 갖고 PM과 GM의 값을 만족시키는 설계변수 T_F 를 선정하는 것이 주파수 응답특성을 이용한 제어기 파라미터 동조방법이다.

먼저 오차가 없다는 가정하에 모델의 시간지연함을 파데근사한 전달함수를 이용하여 PM과 GM을 일반적인 수학식으로 유도함으로 수행성능과 안정도-성능을 절충할 수 있는 T_F 값을 선정한다.

실제 플랜트를 시간지연을 가진 1차모델(FOPDT)로 식별하여 파데근사한 전달함수 $\tilde{G}(s)$ 와 IMC-PID 제어기 전달함수 $G_c(s)$ 를 직렬 연결했을 때 시스템의 개루프 전달함수를 나타내면 식(9)와 같다.

$$L(s) = G_c(s)\tilde{G}(s) = \frac{-0.5d_m s + 1}{0.5d_m T_F s^2 + (d_m + T_F)s} \quad (9)$$

식(9)를 이용하여 일반적인 GM과 PM을 구하는 식으로 유도하면 다음과 같이 정리할 수 있다.

[정리1] IMC-PID에서 위상교차주파수 ω_p 와 GM은 다음과 같다.

$$\omega_p = \frac{2\sqrt{d_m T_F + T_F^2}}{d_m T_F} \quad (10)$$

$$GM = \sqrt{\frac{(-d_m T_F \omega_p^2)^2 + (2(d_m + T_F) \omega_p)^2}{4 + d_m^2 \omega_p^2}} \quad (11)$$

[증명1] 개루프 전달함수에서 ω_p 는 위상각이 180° 인 주파수이므로 식(12)

$$-\arctan\left(\frac{d_m \omega_p}{2}\right) - \arctan\left(\frac{d_m T_F \omega_p}{2(d_m + T_F)}\right) - 90^\circ = -180^\circ \quad (12)$$

에서 양변을 \tan 로 정리하면 식(13)이 된다. 이 식이 성립하기 위해 분모는

$$\left(\frac{d_m \omega_p}{2}\right) + \left(\frac{d_m T_F \omega_p}{2(d_m + T_F)}\right) / \left(1 - \left(\frac{d_m \omega_p}{2}\right) \left(\frac{d_m T_F \omega_p}{2(d_m + T_F)}\right)\right) = \infty \quad (13)$$

0이 되어야 하므로 이를 만족하는 ω_p 를 찾으면 식(14)로 나타낼 수 있다.

$$\omega_p = \frac{2\sqrt{d_m + T_F}}{d_m \sqrt{T_F}} = \frac{2\sqrt{d_m T_F + T_F^2}}{d_m T_F} \quad (14)$$

여기서 이득여유 GM은 $GM = |L(j\omega_p)|^{-1}$ 이므로 GM을 구하면 다음과 같다.

$$GM = \left| \frac{-0.5d_m T_F \omega_p^2 + j(d_m + T_F) \omega_p}{-j0.5d_m \omega_p + 1} \right| \quad (15)$$

이 때 설계사양으로 주어지는 GM을 만족하는 T_F 를 찾기 위해 식(15)에 식(14)를 대입하여 T_F 에 관해 정리하면 T_F 에 관한 4차 방정식으로 정리된다.

$$8T_F^4 + 20d_m T_F^3 + (16 - 2GM^2)d_m^2 T_F^2 + (4 - GM^2)d_m^3 T_F = 0 \quad (16)$$

Q.E.D.

식(16)을 이용하여 설계사양으로 주어진 GM에 해당하는 T_F 를 선정한다. (단, $T_F \geq 0$, $T_F \in \mathbb{R}$)

[정리2] IMC-PID에서 이득교차주파수 ω_c 와 PM은 다음과 같다.

$$\omega_c = \sqrt{\frac{-4(d_m + T_F)^2 - d_m^2 + \sqrt{4(d_m + T_F)^2 - d_m^2} + 16d_m^2 T_F^2}{2d_m^2 T_F^2}} \quad (17)$$

$$PM = 180^\circ + \left[\arctan\left(\frac{-d_m \omega_c}{2}\right) - \arctan\left(\frac{2(d_m + T_F)}{-d_m T_F \omega_c}\right) \right] \times \frac{180^\circ}{\pi} \quad (18)$$

[증명2] 식(9)에서 $G_c(j\omega_c)\tilde{G}(j\omega_c) = 1$ 인 ω_c 는 식(19)를 만족하고, 이를 ω_c 에 대해 정리할 수 있다.

$$|L(j\omega_c)| = \left| \frac{-0.5jd_m \omega_c + 1}{-0.5d_m T_F \omega_c^2 + j(d_m + T_F) \omega_c} \right| = 1 \quad (19)$$

$$d_m^2 T_F \omega_c^2 + 4(d_m + T_F)^2 - d_m^2 \omega_c^2 - 4 = 0 \quad (20)$$

Q.E.D.

식(20)을 ω_c 에 대해 정리하면 식(17)과 같이 되고, $PM = 180^\circ + \angle L(j\omega_c)$ 이므로 이를 정리하면 식(18)과 같이 된다.

2.2 새로운 방법에 대한 실험

비교적 큰 지연시간을 갖는 시스템을 실험함으로 실제 공정에서 발생할 수 있는 조건들을 고려한 제어기를 설계하였다. 특히 새로운 방법에 대한 우수성을 입증하기 위하여 비교대상이 되어 온 대표적인 시스템을 선정하였다.

$$G_p(s) = \frac{e^{-3s}}{(s+1)^2(2s+1)} \quad (21)$$

본 논문에서는 Suh-Lim[7] 방법으로 시스템 추정모델을 구하였다. ($k_m = 1.0$, $\tau_m = 1.54$, $d_m = 4.93$)

이미 이전에 주파수영역에서 설계되었던 논문들의 결과들을 토대로 시스템 성능을 향상시킬 수 있는 PM과 GM의 범위를 가정하였다. ($3.5 \leq GM \leq 4.0$, $67^\circ \leq PM \leq 69^\circ$)

정확한 T_F 값을 찾기 위해 GM의 값을 3.8로 하였을 때 $T_F = 4.437$ 이 선정되었다. 이렇게 선정된 T_F 값을 앞에서 유도된 IMC-PID 제어기 변수 식에 대입하여 전체 시스템의 응답성능을 알아보았다. 본 논문에서 제안된 방법의 우수성을 입증하기 위해 Morari-Zafiriou[4], Maffezzoni-Rocco[5], Ziegler-Nichols[6]가 각각 제안한 방법의 성능을 시간영역과 주파수영역에서 비교하였다.

표 1 시간영역의 성능 비교

동조방법	Overshoot(%)	Rising Time(s)	Settling Time(s)
Proposed	1.14	9.33	17.5

M-Z	13.00	4.91	25.3
M-R	8.65	6.43	23.2
Z-N	9.41	2.76	27.1

표 2 주파수영역의 성능 비교

동조방법	성능지수 (dimensionless)	Gain Margin (dimensionless)	Phase Margin($^\circ$)
Proposed	3.351		64.240
M-Z	2.354		56.002
M-R	2.705		58.162
Z-N	1.682		77.089

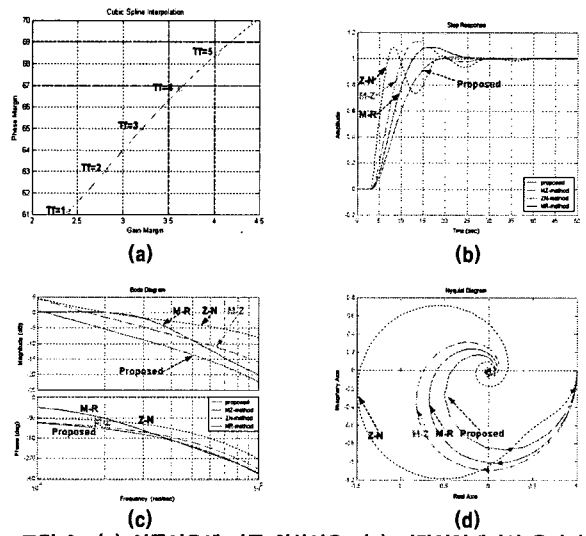


그림 2 (a) 이득여유에 따른 위상여유 (b) 시간영역에서의 응답비교
(c) 주파수영역에서의 응답비교 (d) 각 방법에 따른 Nyquist

3. 결 론

제어기를 설계하는데 있어 주파수응답 특성인 위상여유와 이득여유의 값을 이용하였다. 이는 이미 알고 있듯이 강인성과 안정성 모두를 고려 할 수 있다. 또한 일반적으로 식이 유도되어 있어 설계자가 원하는 제어기를 빠르고 쉽게 찾을 수 있다는 장점 때문에 제어기 설계방법으로 많이 이용되었다.

이러한 장점을 이용하여 본 논문에서는 내부 안정성(internal stability)이 보장되며 설계변수가 한 개라는 편리성을 가진 IMC 구조의 PID 제어 설계 방법을 제안하였다. 설계변수를 선정하는데 있어 위상여유와 이득여유를 이용하여 시스템의 성능과 강인성 모두를 만족하는 설계변수를 찾는 방법을 제시하였다는데 그 의의가 있다. 이렇게 함으로써 IMC-PID 제어 변수들의 자동조절이 가능하고, 주파수 영역에서의 특성을 향상시킬 수 있다는 장점이 있다.

참 고 문 헌

- Q.G.Wang, H.W.Fung, and Y.Zhang, "PID tuning with exact gain and phase margins", ISA Transactions, Vol.38, No.3, pp.243-249, 1999.
- W.K.Ho, T.H.Lee, H.P.Han, and Y.Hong, "Self-Tuning IMC-PID Control with Interval Gain and Phase Margins Assignment", IEEE Transactions on Control Systems Technology, Vol.9, No.3, May 2001.
- D.E.Seborg, T.F.Edgar, and D.A.Mellichamp, "Process Dynamics and Control", John Wiley & Sons, 2004.
- M.Morari and E.Zafiriou, "Robust Process Control", PrenticeHall, Englewood Cliffs, NJ: 1989.
- C.Maffezzoni and P.Rocco, "Robust Tuning of PID Regulators Based on Step-Response Identification", European Journal of Control, Vol.4, No.2, pp.125-136, Mar 1997.
- J.G.Ziegler and N.B.Nichols, "Optimum Settings for Automatic Control -lers", Trans. ASME, Vol.64, pp.759-768, 1942.
- B.S.Suh and D.K.Lim, "New PID identification algorithm based on frequency scaling", Proceedings of the 40th Midwest Symposium on Circuits and Systems, Vol. No.1, pp.654-658, 1998.